

Министерство нефтяной промышленности

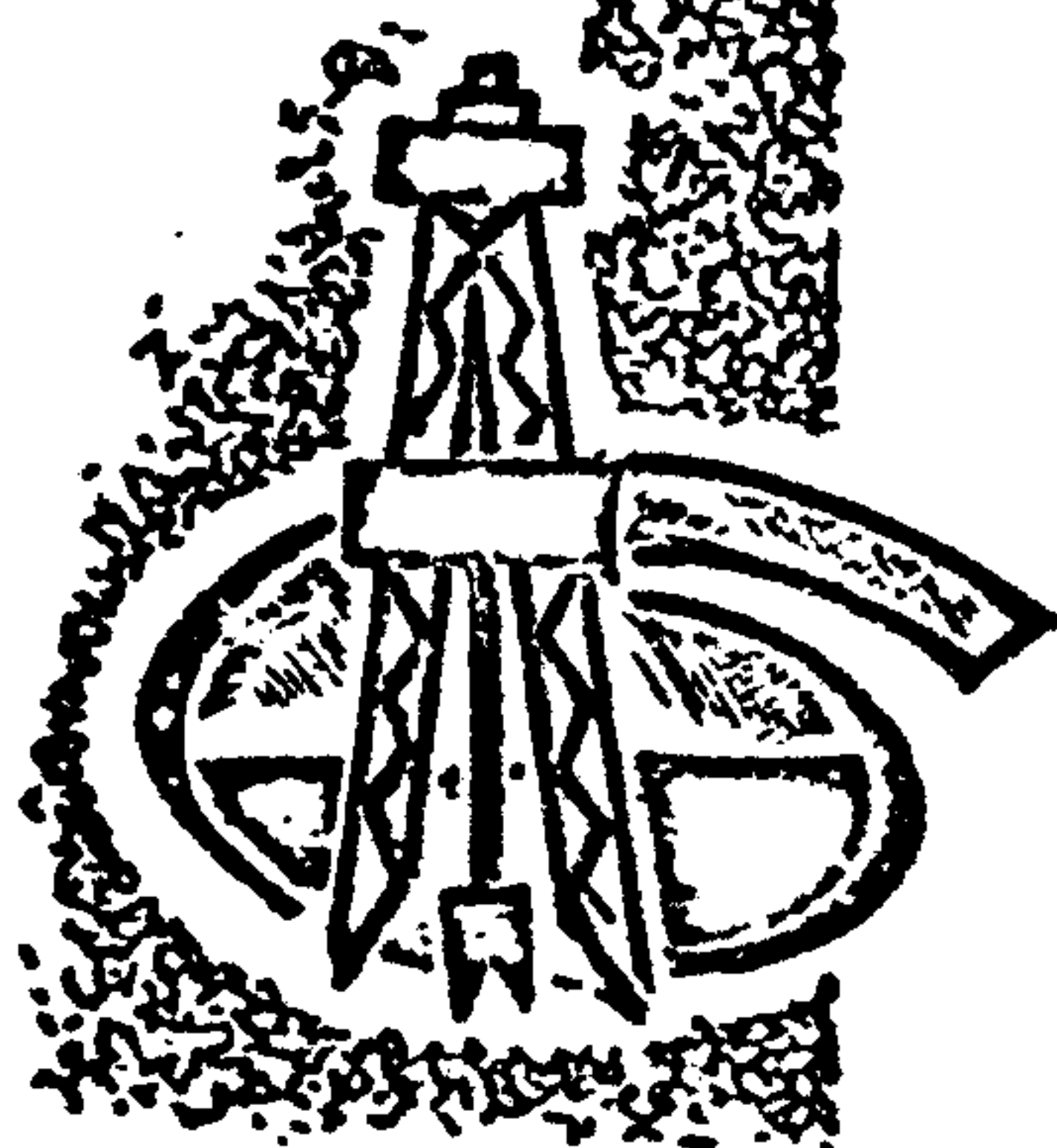
Производственное ордена Ленина и
ордена Трудового Красного Знамени
объединение Башнефть

Башкирский государственный
научно-исследовательский и проектный
институт нефтяной промышленности

БАШНИЦИОНАЛЬНЫЙ ГОСУДАРСТВЕННЫЙ ИНСТИТУТ НЕФТЕДОБЫЧИ

ТЕХНОЛОГИЯ ДОБЫЧИ НЕФТИ ИЗ ГЛУБOKИХ
ИСКРИВЛЕННЫХ СКВАЖИН ПТАНГОВОЙ НАСОСНОЙ
УСТАНОВКОЙ С ДИФЕРЕНЦИАЛЬНЫМ ПЛАНКРОМ
(УСНН)

РД 39-1-1049-84



УСНН · 1984

Министерство народной промышленности СССР

СОРИАССЕАНД

Заместитель начальника управления по развитию техники, технологий и организации добычи нефти и газа

Спасибо за задание
15.02.

УТВЕРЖДАЮ

Начальник Технического
управления Куйбышевского
облпотребсоюза

РУКОВОДСТВУЮЩИЙ ДОКУМЕНТ

Технология добычи нефти из глубоких искривленных скважин становой насосной установкой с дифференциальным приводом

PA 39-1-1049-84

НАСТОЯЩИЙ ДОКУМЕНТ РАЗРАБОТАН

Башкирским научно-исследовательским и проектным институтом
нефтяной промышленности (Башнифтнефть)

Директор УГАРТ
ХАРД-ТОХН. НАУК

**Ответственные исполнители:
от. инженер, руководитель темы**

Инженер

Инженер

Семинар по изучению языка

Нар. ЧИНГИЗ НАСУ УФОНДЫ

Armen

H.Ф.Каримов

*James
Blissgood*

K. P. Уразаков

Б.Г. Музыков

Р.З. Ахмадиеви

Oliver

Р. Х. Кинчахов

Продолжение титульного
листа РД 39-

СОГЛАСОВАНО:

Директор БНИИ

Начальник производственного
отдела добычи нефти и газа
объединения Башнефть

Председатель областного
комитета профсоюза
рабочих нефтяной и газовой
промышленности

Подпись Г. Вахитов

У. З. Рахетдинов

Ф. Г. Ахунов

УДК 622.276.53

Технология добычи нефти штанговой установкой с дифференциальным плунжером разработана впервые на основе результатов исследований, проведенных в Башнипинефти совместно с НГДУ Уфанафть.

Технология применяется при эксплуатации глубоких наклонно направленных скважин.

Авторы : К.Р.Уразаков, В.З.Миндикеев, Р.З.Ахмадиев,

(Башнипинефть)

Р.Х.Кинзикеев (НГДУ Уфанафть).

РУКОВОДСТВО ДОКУМЕНТ

**ТЕХНОЛОГИЯ ДОБЫЧИ НЕФТИ ИЗ ГЛУБОКИХ
ИСКРИВЛЕННЫХ СКВАЖИН ШТАНГОВОЙ НАСОСНОЙ УСТАНОВКОЙ
С ДИФФЕРЕНЦИАЛЬНЫМ ПЛУНЖЕРОМ (УСИН)**

РД 39-4-1049-84

Вводится впервые

Приказом производственного ордена Ленина и ордена Трудового Красного знания объединения Башнефть

от 22.05.84. № 225

срок введения в действие установлен с 1.07.84.

Настоящим документом следует руководствоваться при эксплуатации искривленных и наклонно направленных скважин штанговой насосной установкой с дифференциальным плунжером.

Документ обязательен для предприятий объединения Башнефть и может быть рекомендован к применению на других месторождениях со скважинами осложненного профиля.

I. ОСНОВЫ ПОЛОЖЕНИЯ

I.I. В наклонно направленных и искривленных скважинах (угловистость искривления ствола скважины более $2,5^\circ$ на 10 м), эксплуатируемых глубинными штанговыми насосными установками, в результате увеличения силы трения в паре "штанга-насосная трубка" значительно увеличивается нагрузка на головку балансир-

ра станка-качалки, что снижает эффективность добычи нефти.

При этом снижается надежность работы установки в целом, увеличивается износ штанговой колонны, уменьшается межремонтный период работы скважины (в дальнейшем МРП).

1.2. Для уменьшения осадок при эксплуатации скважин с сильноискривленным профилем ствола по данной технологии, столб откачиваемой жидкости, расположенный между устьем скважины и перед участком набора кривизны ствола скважины, при ходе штанговой колонны вверх отсекается и поднимается отдельно; тем самым достигается снижение зазоров сили трения, вызываемой натяжением штанговой колонны под действием веса откачиваемой продукции.

В качестве отсекателя применяется дифференциальная плунжерная пара, состоящая из дифференциального цилиндра смонтированного на насосных трубах, состоящего из двух ступеней меньшего и большего диаметра. Дифференциальный плунжер снабжен обратным клапаном. Дифференциальная плунжерная пара устанавливается перед участком набора кривизны скважины. Обратный клапан при ходе балансира вверх отсекает столб жидкости.

1.3. Для упрощения спуско-монтажных работ малая ступень дифференциальной плунжерной пары может быть выполнена в виде колонны полых штанг с обратным клапаном, связывающим внутренний канал большей дифференциальной ступени плунжера с устьем скважины, а колонна НКТ снабжается обратным клапаном, расположенным непосредственно над дифференциальной плунжерной парой выше верхней мертвоточки хода плунжера.

1.4. Глубина спуска насоса - не более 1800 м.

1.5. Межремонтный период работы установки предлагается равным 160 сут.

2. ТЕХНИЧЕСКИЕ СРЕДСТВА, НЕОБХОДИМЫЕ ДЛЯ ОСУЩЕСТВЛЕНИЯ ТЕХНОЛОГИЧЕСКОГО ПРОЦЕССА

2.1. В качестве привода установки используется станок-качалка по ГОСТ 5866-76.

2.2. Жидкость откачивается штанговым насосом по ГОСТ 6444-78.

2.3. Штанговая колонна состоит из штанг ЕН 19, ЕН 25 по ГОСТ 13877-80.

2.4. Большая ступень дифференциальной плунжерной пары компонуется с использованием штангового насоса ИГи-55, ГОСТ 6444-78.

2.5. Малая ступень дифференциальной плунжерной пары выполнена в виде колонны полых штанг ЕН-42x3.5, (выпускаемых заводом им. Сардарова Азербайджанской АССР).

2.6. Для работы с полыми штангами применяется элеватор типа ЗТАР-12,5 и ключ типа КТД-56.

2.7. Обвязка устьевой арматуры при использовании полых штанг производится с использованием комплекта оборудования по ..., ТУ 26-16-110-81, ГОСТ 6286-73, ТУ 26-16-6-76.

3. ВЫБОР СКВАЖИНЫ ДЛЯ ОСУЩЕСТВЛЕНИЯ ПРОЦЕССА

3.1. Для осуществления процесса добычи нефти выбираются скважины производительность от 0,5 до 60 м³/сут, с обводненностью добываемой жидкости в пределах 0 - 30 %, 75- 90 %.

3.2. Выбранная скважина, отличающаяся сложностью профиля ствола, по инклинометрам и динамограммам работы насосов.

4. СХЕМЫ, НЕОБХОДИМЫЕ ДЛЯ ОСУЩЕСТВЛЕНИЯ МОНТАЖА И ЭКСПЛУАТАЦИИ ОБОРУДОВАНИЯ

4.1. Технологическая схема глубиннонасосной установки с применением дифференциального плунжера представлена в обзательном приложении I.

4.2. Компоновка дифференциальной плунжерной пары осуществляется согласно чертежам, утвержденным в установленном порядке, приведенным в приложении З.

5. ТЕХНОЛОГИЧЕСКИЙ ПРОЦЕСС

5.1. Подъем жидкости на вертикальном участке ствола скважины осуществляется при помощи дифференциального плунжера, а на искривленном участке – при помощи плунжера основного насоса. Для этого перед участком набора кривизны ствола скважины в насосно-компрессорных трубах устанавливается дифференциальный полый цилиндр и входящий в него дифференциальный плунжер с обратным клапаном, установленный в штанговой колонне, причем плунжер малого диаметра соединяется с головкой балансира, а большего диаметра – с глубинным плунжерным насосом.

5.2. Для осуществления технологии предлагается две схемы компоновки насосного оборудования:

5.2.1. Первый вариант – с применением полых штанг;

5.2.2. Второй вариант – без применения полых штанг.

5.3. На технологической схеме, приведенной на рис. I обзательного приложения I изображен общий вид установки (1 вариант). Установка содержит станок-качалку с головкой балансира 1, малую ступень дифференциальной плунжерной пары 2, снабженную обратным клапаном 3, выполненную в виде колонны полых штанг и

оказывающую большую степень дифференциального плунжера 4 с устьем скважины, которая при помощи штанговой колонны 5 соединена с основным штанговым насосом 6. Колонна насосно-компрессорных труб (НКТ) 7 снабжена обратным клапаном 8, соединяющим полость НКТ с затрубным пространством 9.

Штанговая глубинно-насосная установка работает следующим образом. При ходе головки балансира I вверх происходит процесс всасывания основным плунжерным насосом 6, при этом в дифференциальном плунжере 4 закрывается клапан 3, отсекается часть столба жидкости, расположенная выше дифференциального плунжера 4, в результате чего снижается сила, прижимающая штанги к насосным трубам и уменьшается сила трения на участке набора кривизны в паре штанговая колонна – насосная труба 7. При этом уровень жидкости в затрубном пространстве 9 снижается. Обратный клапан 3 позволяет перепустить часть жидкости, заполнившей колонну НКТ в момент запуска скважины, в затрубное пространство 9, за счет чего уменьшается давление на дифференциальный плунжер 4.

Затем головка балансира I совершает ход вниз, происходит процесс нагнетания. При этом клапан 3 дифференциального плунжера 4 открывается, пропуская откачиваемую жидкость, которая отбирается через колонну полых штанг 2.

Использование конструкции с полыми штангами (см. приложение 1) позволяет облегчить проведение спуско-подъемных операций. Установка обратного клапана 8 на насосно-компрессорных трубах предупреждает попадание срывающего газа в колонну НКТ, и тем самым, отпадает необходимость установки уплотнительных элементов на устье скважин между колоннами НКТ и штанг.

Вследствие снижения нагрузки на головку балансира и уменьшения силы трения между НКТ и штангами на искривленном участ-

ко скважинам повышается КИД установки, увеличивается межремонтный период работы скважин.

Все это позволяет повысить надежность работы скважинной насосной установки в искривленных и наклонно направленных скважинах.

5.4. Возможные варианты компоновки УСН с дифференциальным плунжером показаны на рис.2, З приложения I:

вариант 2а)-дифференциальный насос выполнен в виде двух плунжеров с обратным клапаном и с их цилиндрами;

вариант 2б)-дифференциальный насос выполнен в виде двух плунжеров с их цилиндрами без обратного клапана;

вариант 3а)-верхняя плунжерная пара дифференциального насоса выполнена в виде колонны полых штанг с обратным клапаном;

вариант 3б)-верхняя плунжерная пара дифференциального насоса выполнена в виде колонны полых штанг без обратного клапана.

Наиболее рациональным является применение компоновок 2а и 3б.

Компоновки 2б и 3б следует применять в том случае, если глубина расположения искривленного участка не превышает максимально возможную глубину спуска дифференциального плунжера. При использовании данных компоновок отвод жидкости не отекает, но за счет действия выталкивающей силы на дифференциальный плунжер сила, прижимающая штанги к трубам на участке искривления снижается.

Эффективность использования схем 2а и 3а определяется давлением насыщения газа в откачиваемой продукции. При высоком значении давления насыщения разгрузка штанг ниже дифференциального плунжера будет незначительной вследствие резкого возрастания коэффициента сжимаемости откачиваемой продукции при

снижения давления под дифференциальным плунжером ниже давления насыщения.

6. ТРЕБОВАНИЯ БЕЗОПАСНОСТИ

Проведение работ на глубинно-насосной установке с дифференциальным плунжером должны осуществляться в соответствии с разделами I, 4, 5 "Правил безопасности в нефтегазодобывающей промышленности", утвержденных Госгортехнадзором СССР ЗГ.С1.74.

7. ВОЗМОЖНЫЕ ОТКЛЮЧЕНИЯ ОТ НОРМАЛЬНОЙ РАБОТЫ ТЕХНОЛОГИЧЕСКОЙ СЛЕНЬ И СПОСОБЫ ИХ УСТРАНЕНИЯ

При изменении давления жидкости на приеме насоса производится пересчет параметров дифференциального плунжера по методике, примененной в рекомендованном приложении 2 (пример расчета приведен в справочном приложении 2а). При очередном подземном ремонте параметры изменяются в соответствии с пересчетом.

СПИСОК ИСПОЛЬЗОВАННЫХ ИСТОЧНИКОВ

1. Николаев Г.И., Уразаков К.Р.Р., Валеев М.Д. Совершенствование эксплуатации наклонных и обводненных скважин. - Нефтяное хозяйство, М., 1980, № I, с.32-35.
2. Новое в развитии техники и технологии механизированных способов добычи нефти. - Обзор зарубежной литературы. Серия добыча, М.; ВНИИОЭНГ, 1974, - 42 с.
3. Николаев Г.И., Уразаков К.Р. Оптимизация профиля наклонной скважины для штангового гидронасосного способа добычи нефти. - РНТС/ВНИИОЭНГ, Нефтепромысловое дело, 1982, №6, с.19-22.
4. А.с. № 914806 (СССР) Скважинная насосная установка/Башнилпинефть; Авт.изобр. К.Р.Уразаков, С.С.Закиров, М.Ф.Вахитов, Заявл. 22.08.80, № 1976495; Опубл. в Б.И. 1982, № II.
5. Разработка технологических мероприятий для повышения эффективности эксплуатации скважин производственного объединения Башнефть: отчет/Башнилпинефть; Рук.тезис О.Г.Гафуров, 2578, инв.№ Б717167, Уфа, 1978, - 151 с.
6. Адонин А.Н. Добыча нефти штанговыми насосами. - М.; Недра, 1979, - 213 с.

Приложение 1

СХЕМА ВТАНГОВОЙ СКВАЖИННОЙ НАСОСНОЙ УСТАНОВКИ

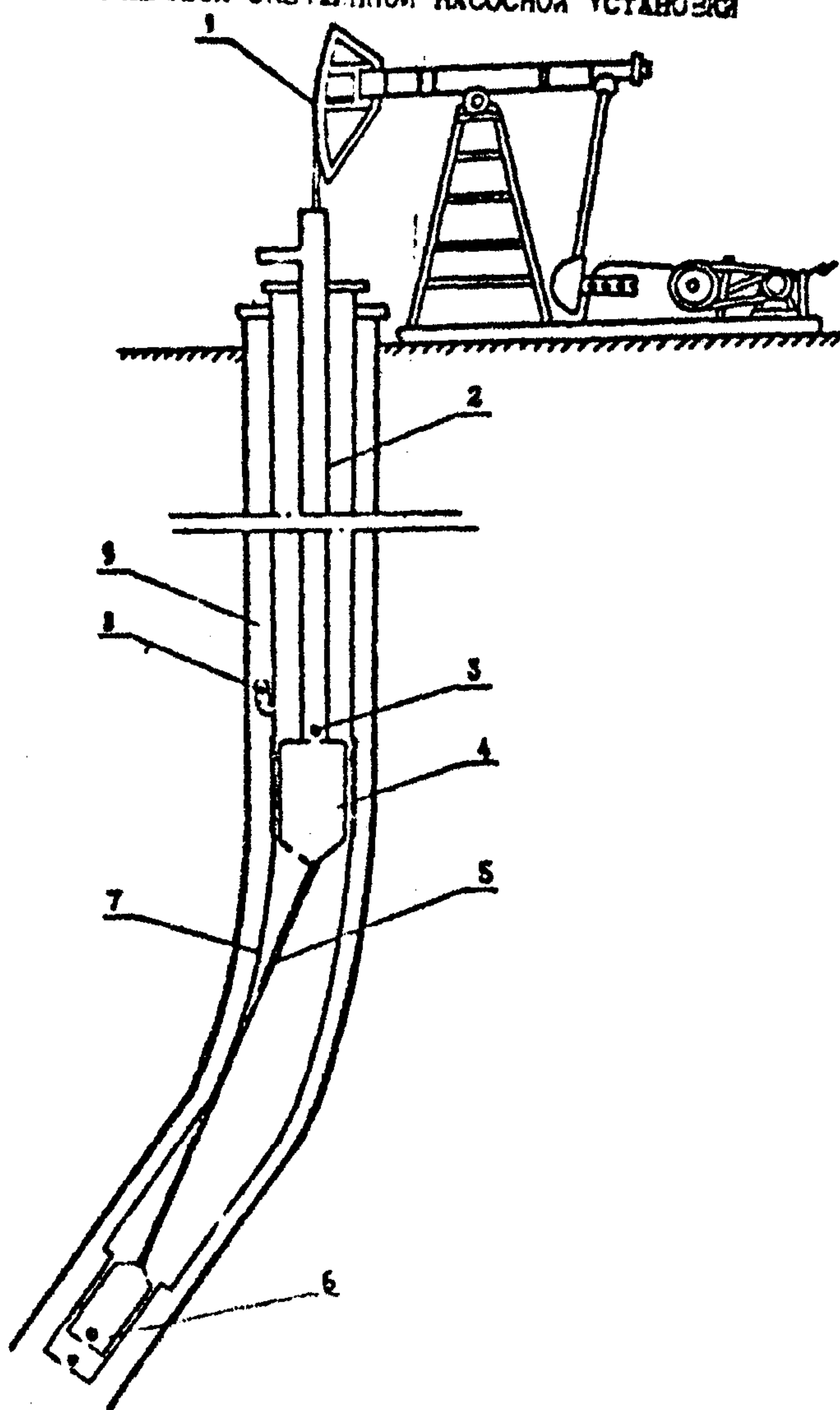


Рис.1

Продолжение приложения I

**Технологические схемы компоновок
оборудования для добычи нефти из глубоких покрытых
скважин**

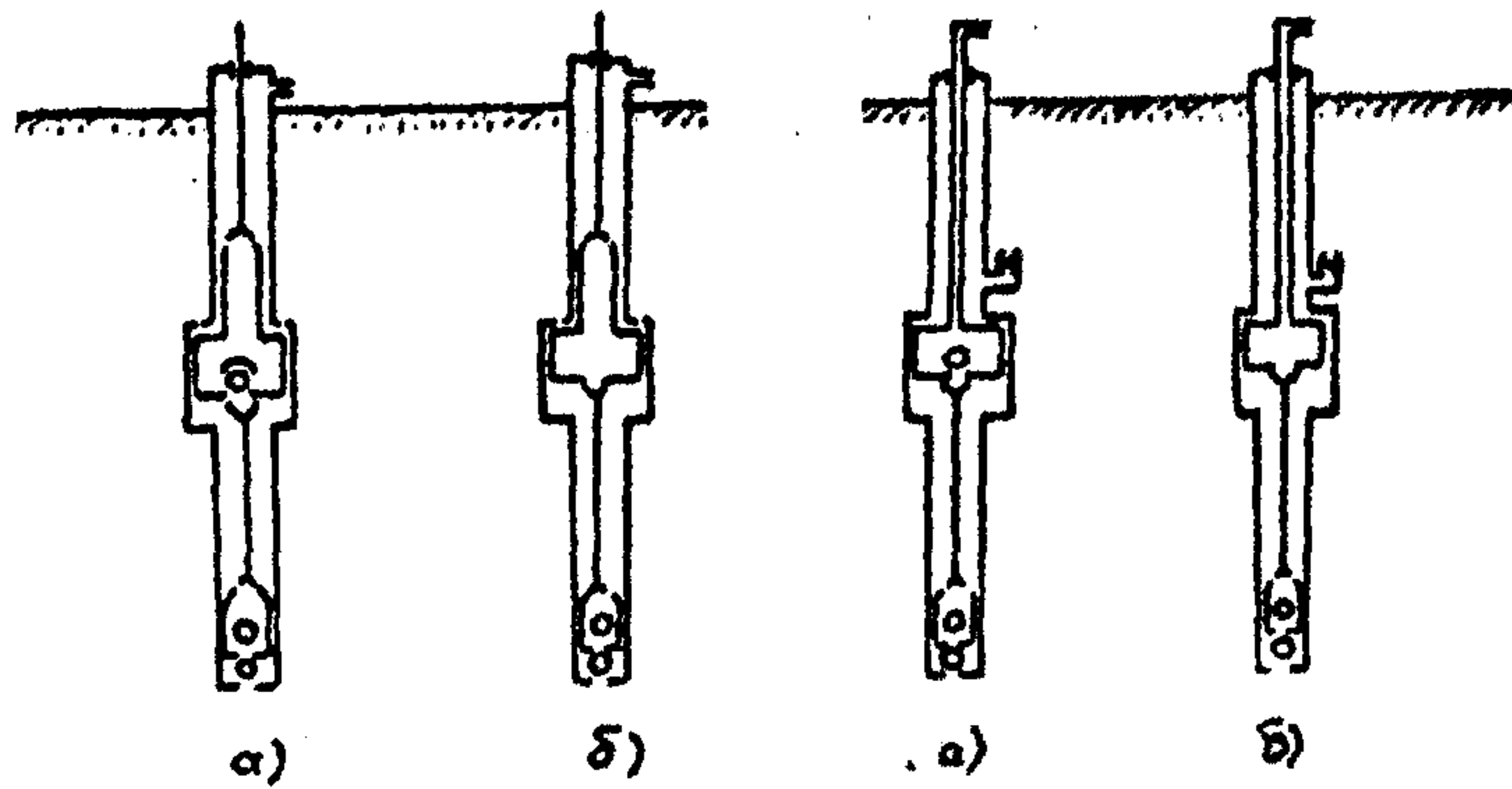


Рис.2

Рис.3

ПРИЛОЖЕНИЕ 2
рекомендуемое

**МЕТОДИКА РАСЧЕТА ПАРАМЕТРОВ УСИН С
ДИФФЕРЕНЦИАЛЬНЫМ ПЛУНЖЕРОМ**

Для определения интервала возможной установки дифференциального плунжера (рис. I) и расчета нагрузок на головку балансиря станка-качалки необходимы исходные данные:

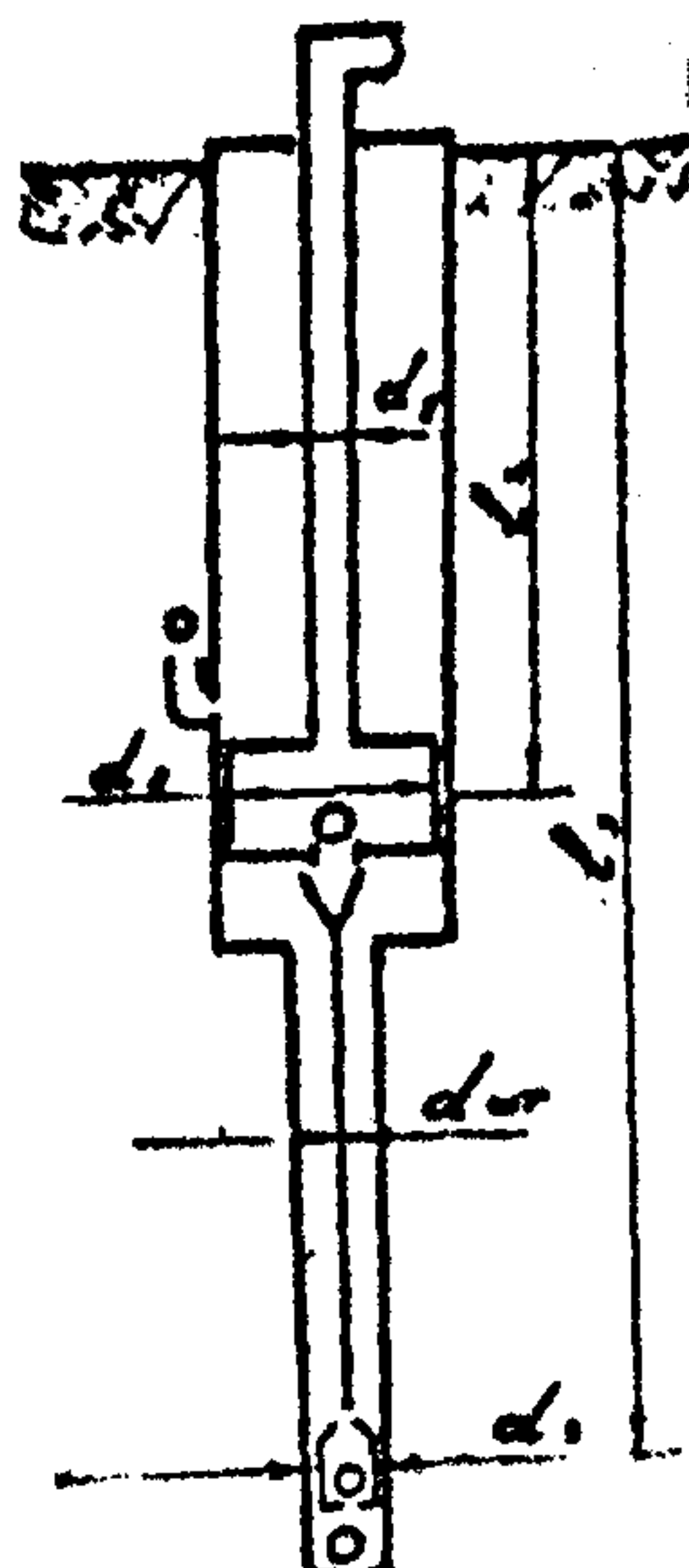


Рис. I

1. Глубина подвески основного насоса l_s , м;
2. Диаметр основного насоса, d_1 , м;
3. Диаметр среднего насоса, d_2 , м;
4. Диаметр верхнего насоса или внутренний диаметр полых штанг, d_y , м;
5. Доли штанг с диаметрами 0,016; 0,019; 0,022; 0,025 и холонне штанг выше дифференциального плунжера соответственно: δ_{16H} ; δ_{19H} ; δ_{22H} ; δ_{25H} ;
6. Вес погонного метра штанг в воздухе с диаметрами 0,016; 0,019; 0,022 0,025 м и полых штанг соответственно, γ_{16} ; γ_{19} ; γ_{22} ; γ_{25} , N/m ;
7. Вес погонного метра штанг в жидкости с диаметром 0,016; 0,019; 0,022 0,025 м соответственно γ_{16L} ; γ_{19L} ; γ_{22L} ; γ_{25L} , N/m ;
8. Модуль упругости материала штанг, E , Pa ;

9. Площади сечений тел штанг с диаметрами 0,016; 0,019
0,022; 0,025 и полых штанг соответственно f_{16} ; f_{19} .

$$f_{22}; f_{25}; f_n \cdot m^2$$

10. Внутренний диаметр насосно-компрессорных труб, D , м;

11. Площадь сечения тела насосно-компрессорных труб,

$$f_{tr} \cdot m^2;$$

13. Число качаний станка-качалки, n , s^{-1} ;

14. Давление в системе сбора жидкости, P_a , Па;

15. Давление в затрубном пространстве, P_3 , Па;

16. Плотность откачиваемой жидкости, ρ_x , kg/m^3 ;

17. Коэффициент сжимаемости откачиваемой жидкости,

$$\beta_x, Pa^{-1};$$

18. Давление насыщения жидкости, P_n , Па;

19. Коэффициент запаса, K ;

20. Расстояние от устья скважины до нижнего конца первого искривленного участка, h_{u1} , м (рис.2)

21. Расстояние от устья скважины до нижнего конца второго искривленного участка, h_{u2} , м (рис.2)

I. Интервал возможной установки дифференциального насоса (ДН) лежит между устьем скважины и основным насосом. Максимальная (минимальная) глубина установки ДН определяется равновесием силы, способствующей движению плунжера ДН вниз и являющейся функцией расстояния от устья скважины ($P_c = f(l)$), и силы, препятствующей движению плунжера ДН вниз, также являющейся функцией расстояния ($P_n = f(l)$), с учетом коэффициента запаса K .

Расстояние l_2 от устья скважины, на котором $P_c = P_n$ определяется по формуле (I), м:

$$l_2 = \frac{0.785(d_s^2 - d_x^2)(P_c - P_n) + 25000(d_s + d_x)}{\frac{\delta_m}{K} - \frac{\delta_{pr}}{K} - 0.785(d_s^2 + d_x^2)\rho_x g}, \quad (I)$$

СХЕМА ПТАНГОВОЙ СКВАЖИННОЙ НАСОСНОЙ УСТАНОВКИ

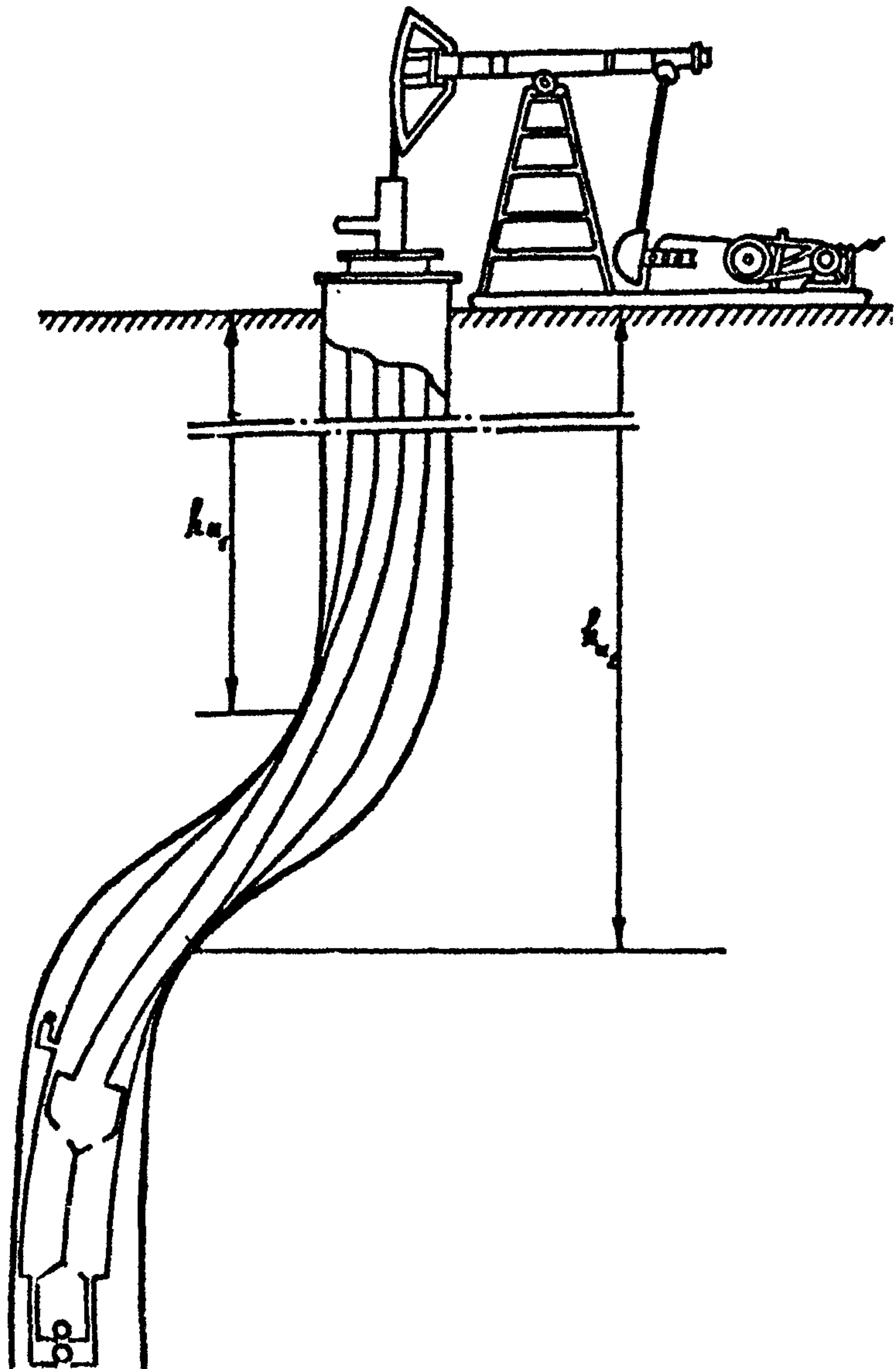


Рис.2

где $\gamma_{жн}$ определяется по формуле (2), Н/м

$$\gamma_{жн} = \gamma_{25ж} \delta_{25н} + \gamma_{19ж} \delta_{19н} + \gamma_{16ж} \delta_{16н}, \quad (2)$$

Возможны четыре варианта соотношения сил P_c и P_n при $\ell_2=0$, (P_{co} и P_{no}), определяющего интервал возможной установки ДН:

- а) $P_{co} > P_{no}$, $\ell_2 > 0$: интервалом возможной установки $]0, \ell_2[$ (если $\ell_2 > \ell_3$, то $]0, \ell_3[$ (рис.3а);
- б) $P_{co} < P_{no}$, $\ell_2 > 0$: $]\ell_2, \ell_3[$ (если $\ell_2 > \ell_3$, то ДН установить невозможно), (рис.3б);
- в) $P_{co} > P_{no}$, $\ell_2 < 0$: $]0, \ell_3[$ (рис.3в);
- г) $P_{co} < P_{no}$, $\ell_2 < 0$: ДН установить невозможно (рис.3г)

Силу P_{co} определяем по формуле (3), Н:

$$P_{co} = \gamma_{жн} \ell_3 \quad (3)$$

Силу P_{no} - по формуле (4), Н :

$$P_{no} = K \left[(P_b - P_3) (d_e^2 - d_r^2) + 25000 (d_e + d_r) \right] \quad (4)$$

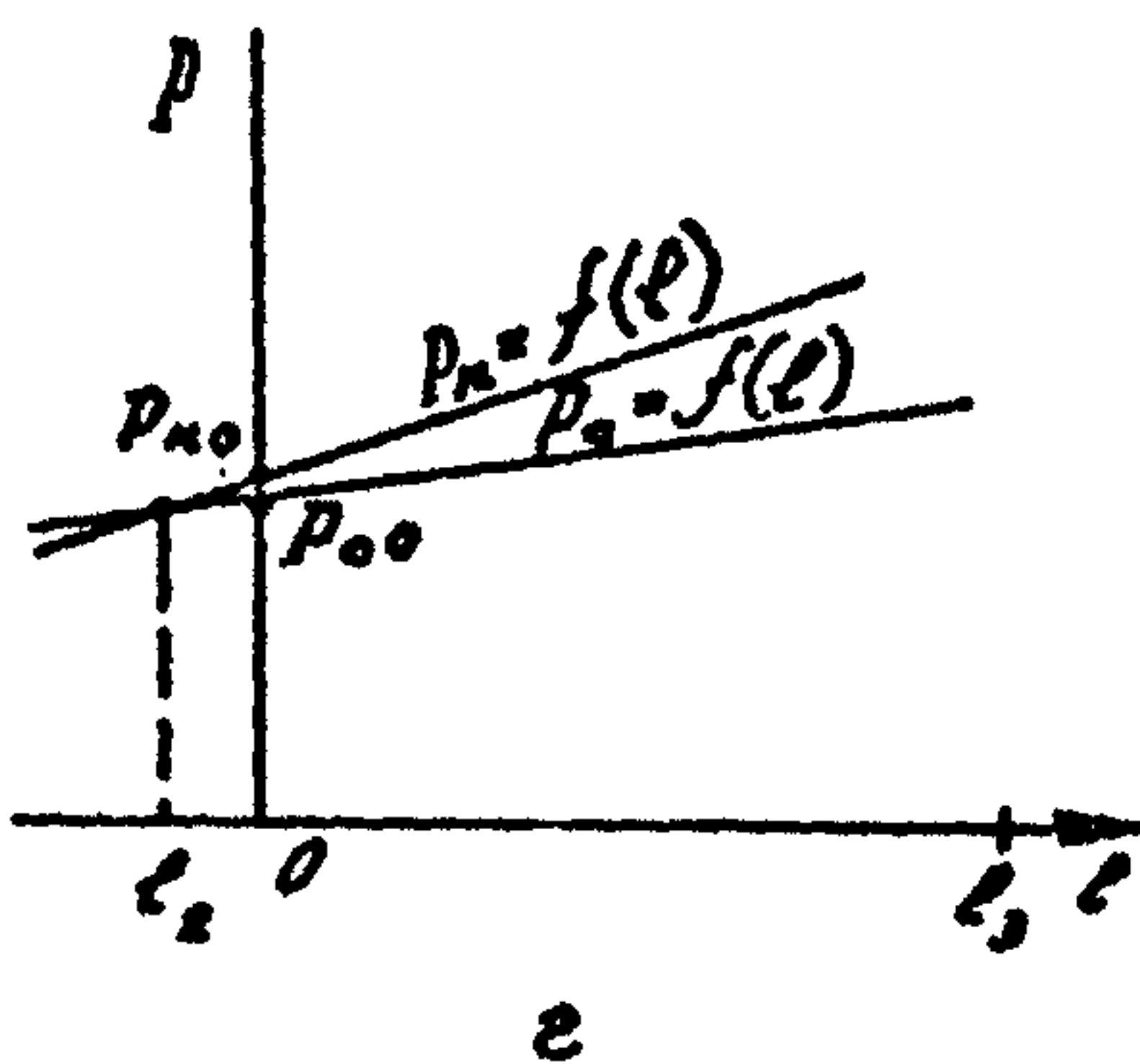
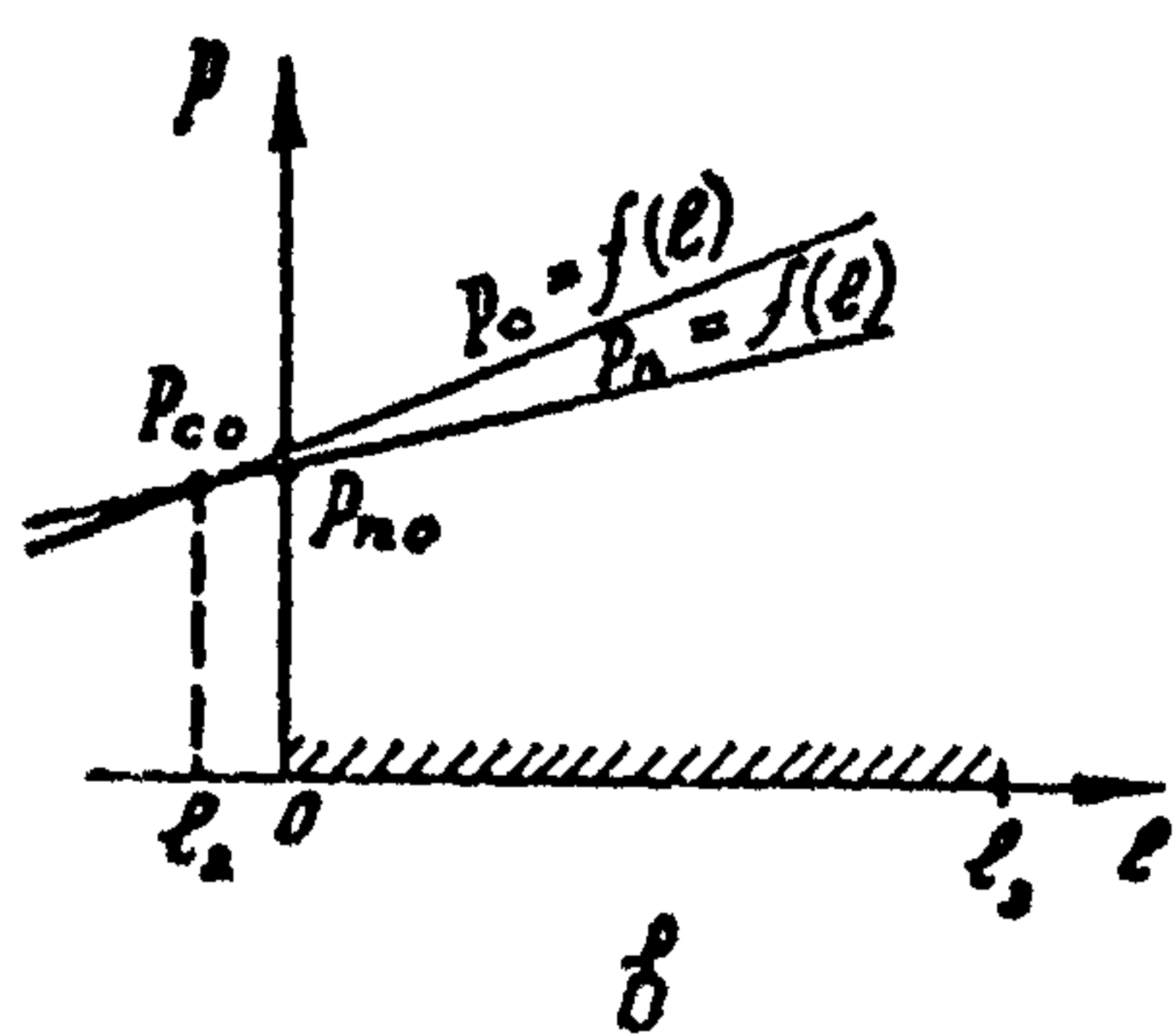
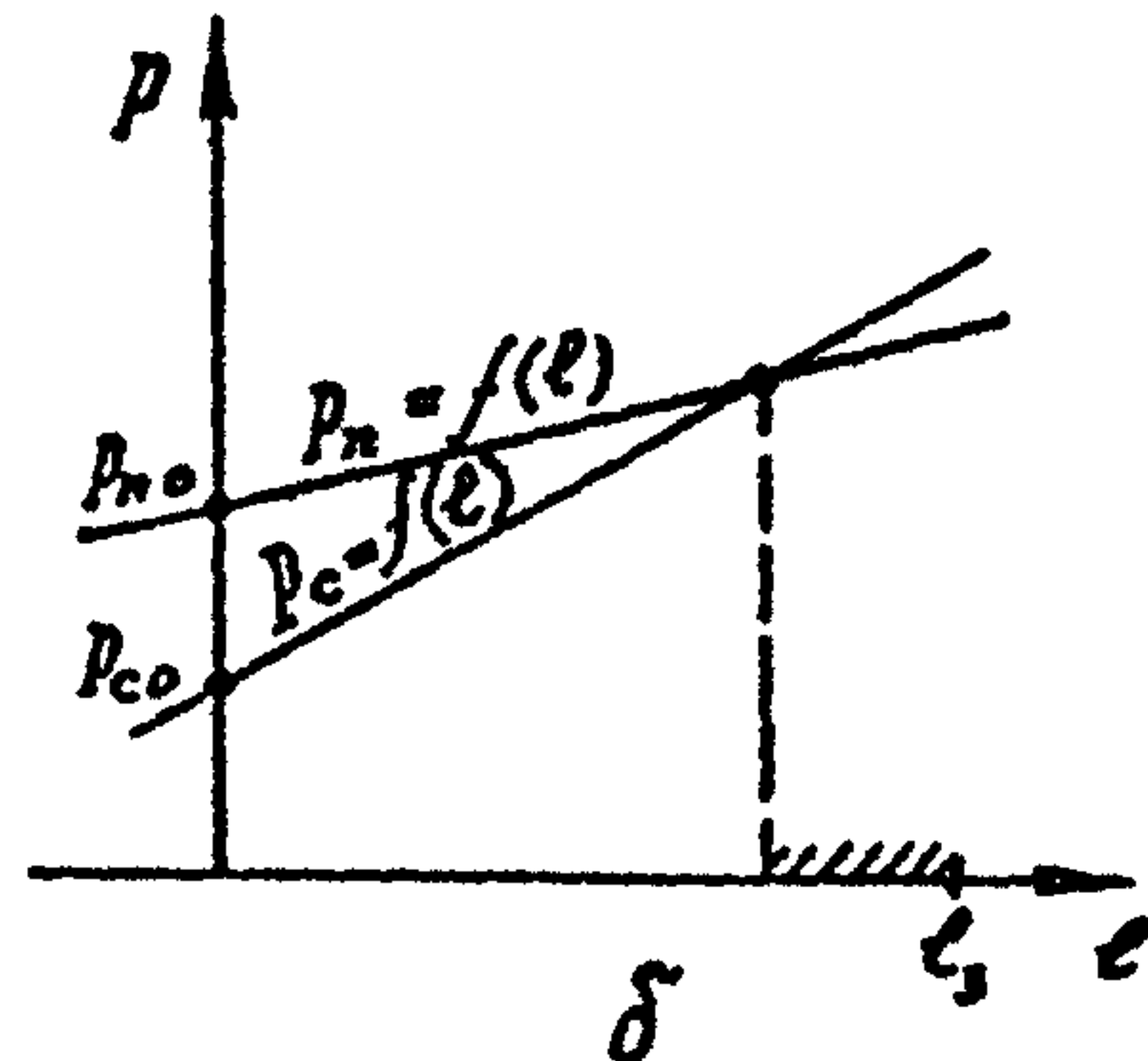
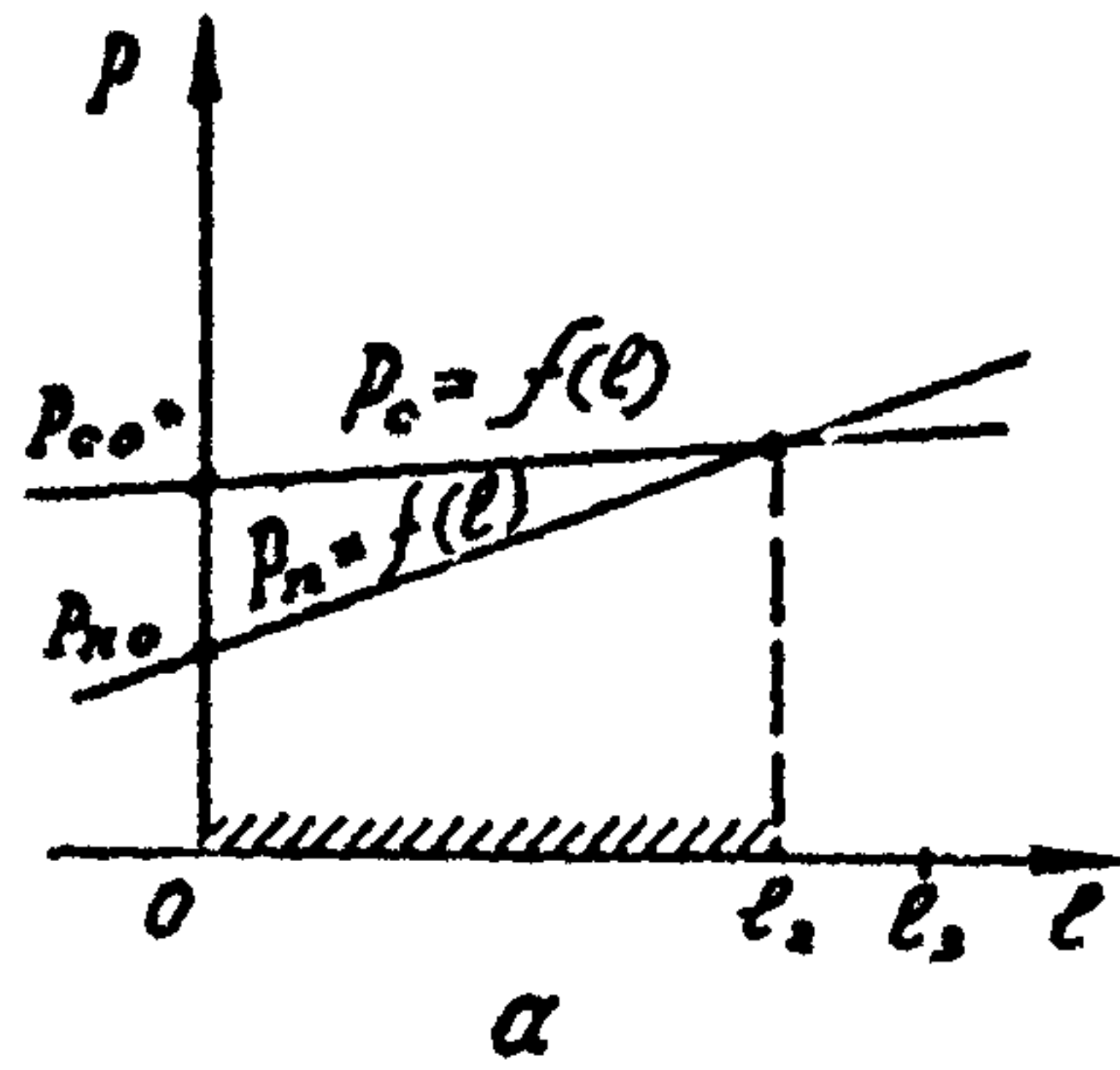
При использовании формул (I) и (4) необходимо принимать $P_3 = 10^5$ Па при замене верхнего плунжера полыми штангами.

2. При применении ДН с установленными в его плунжере обратным клапаном происходит разгрузка штанг и головки балансирного станка-качалки.

Разгрузка штанг ниже ДН происходит вследствие снижения давления под плунжером ДН от P_e до P_r из-за освобождения им большего объема, чем объем жидкости, подаваемый основным насосом.

Давление под плунжером ДН в начале хода вперед, Па :

$$P_r = \rho g \ell_s + P_o \quad (5)$$



||||| - интервалы возможной установки 2λ

Рис. 3

Давление в конце хода вверх, Па :

$$P_2 = P_s - \frac{(d_s^2 - d_s') \cdot S_o}{(l_s - l_s') (D^2 - (l_s')^2) \rho_m} \quad (6)$$

Необходимо отметить, что коэффициент сжимаемости жидкости значительно меньше, чем газожидкостный смеси, поэтому существенно понизить давление под ДН ниже P_n невозможно.

Следовательно, если в результате расчета по формуле (6) имеем $P_2 < P_n$, то для упрощения дальнейших расчетов принимаем $P_2 = P_n$.

Формула для определения величины разгрузки штанг в Н выше ДН

$$\Delta F_{sh} = \frac{\pi}{8} (P_s - P_n) (d_s^2 - d_s') \quad (7)$$

Величина разгрузки штанг и головки балансира выше ДН определяется выталкивающей силой, действующей на плунжер ДН, Н :

$$\Delta F_{sh} = \frac{\pi}{4} (d_s^2 - d_s') \left[\left(\frac{P_s + P_n}{2} \right) - P_3 \right] \quad (8)$$

Формула (8) пригодна также для расчета величины разгрузки штанг выше ДН и головки балансира станка-качалки, если в плунжере ДН не установлен обратный клапан. В этом случае

$$\Delta F_{sh} = \frac{\pi}{4} (d_s^2 - d_s') (P_s - P_3) \quad (9)$$

3. Максимальная нагрузка на головку балансира станка-качалки определяется по упрощенной формуле Вирсвокого, Н :

$$P_{max} = P_{jk}' + P_n' + 0,66 \frac{d_s}{d_n} n P_n \sqrt{4 S_o \cdot \lambda_n + 1000 \cdot E_n} \quad (10)$$

где P_{jk}' - вес столба жидкости, Н

$$P_{jk}' = \frac{\pi}{4} \rho_m g l_s d_s^2 \quad (11)$$

P_n' - вес колонны штанг в жидкости, Н

$$P_n' = (l_s - l_s') \gamma_{m,n} + l_s' \gamma_n \quad (12)$$

P_w - вес колонны штанг в воздухе, Н.

$$P_w = (\ell_s - \ell_0) (\delta_{16} E_{16n} + \delta_{19} E_{19n} + \delta_{22} E_{22n} + \delta_{25} E_{25n}) \cdot l_s \delta_n \quad (I3)$$

d_s - диаметр штанг, м;

$$\lambda_w = \frac{P_w \ell_s}{E f_w} \quad (I4)$$

f_w - площадь сечения тела штанг, м². Для ступенчатой колонны вместо f_w подставляем $f_{w\varphi}$, м²

$$f_{w\varphi} = \frac{1}{\left(\frac{\ell_s - \ell_0}{\ell_s} \right) \left(\frac{E_{16n}}{f_{16}} + \frac{E_{19n}}{f_{19}} + \frac{E_{22n}}{f_{22}} + \frac{E_{25n}}{f_{25}} \right) + \frac{\ell_0}{\ell_s f_0}}, \quad (I5)$$

$$\gamma = \frac{f_{rp}}{f_{rp} + f_w} \quad (I6)$$

Кроме того, в формуле (5) для ступенчатой колонны штанг необходимо вместо d_s подставить $d_{w\varphi}$, м

$$d_{w\varphi} = \sqrt{\frac{4}{\pi} f_{w\varphi}} \quad (I7)$$

Формулу (5) можно использовать как для расчета максимальной нагрузки на головку балансиря станка-качалки при применении данной технологии, так для ранее существующей. Если дифференциальный плунжер не применен, то в формулах (I2), (I3) и (I5) необходимо принимать $\rho_z = 0$, в формуле (I0) ΔF_{w0} тоже будет равно .

Приложение 2а
оправочное

ПРИМЕР РАСЧЕТА

Известно:

$$\begin{aligned} l_s &= 1500 \text{ м;} \\ d_3 &= 0,032 \text{ м;} \\ d_2 &= 0,056 \text{ м;} \\ d_1 &= 0,035 \text{ м;} \\ \xi_{\text{шн}} &= 1; \\ Y_{11} &= 23,3 \text{ Н;} \\ Y_{12} &= 20,1 \text{ Н} \\ Y_n &= 40 \text{ н;} \\ E &= 2,1 \cdot 10^{11} \text{ Па} \\ f_{11} &= 2,8 \cdot 10^{-4} \text{ м}^2 \\ f_{12} &= 4,2 \cdot 10^{-4} \text{ м}^2; \end{aligned}$$

$$\begin{aligned} D &= 6,2 \cdot 10^{-2} \text{ м;} \\ f_{12} &= 1,2 \cdot 10^{-3} \text{ м}^2; \\ S_0 &= 3 \text{ м;} \\ \lambda &= 0,08 \text{ м}^{-1}; \\ P_d &= 5 \cdot 10^5 \text{ Па;} \\ P_3 &= 10^6 \text{ Па;} \\ \rho_{\text{ж}} &= 900 \text{ кг/м}^3; \\ \beta_{\text{ж}} &= 15 \cdot 10^{-10} \text{ Па;} \\ P_n &= 6 \cdot 10^6 \text{ Па;} \\ h_n &= 800 \text{ м;} \\ K &= 1,2 \end{aligned}$$

I. Определяем интервал возможной установки дифференциального плунжера с верхней ступенью из полых штанг по формуле (I):

$$\begin{aligned} l_e &= \frac{0,785(0,056^2 - 0,035^2)(5 \cdot 10^5 - 10^5) + 25000(0,056 + 0,032) - 1500}{\frac{40}{1,2} - \frac{20,1}{1,2} - 0,785(0,056^2 - 0,035^2) 900 \cdot 9,8} \frac{20,1}{1,2} \\ &= - 6660 \text{ м;} \end{aligned}$$

Определяем величину силы, способствующей движению колонны штанг жиэ, по (3):

$$P_{ce} = 20,1 \cdot 1500 = 30150 \text{ Н}$$

Определяем величину силы препятствующей этому движению при $\zeta = 0$ по (4)

$$P_{n_0} = 1,2(5 \cdot 10^5 - 10^5)(0,056^2 - 0,035^2) + 25000(0,056 + 0,032) = 3557 \text{ Н}$$

Имеем $P_{n_0} < P_{co}$, следовательно интервал возможной установки ДН (см. приложение 2 рис. 3 б) $] 0, 1500 [$

Наша основная задача разгрузить штанги в искривленном участке, поэтому принимаем $l_2 = h_u = 800 \text{ м}$

ДН находится ниже искривленного участка, поэтому выбираем схему компоновки без клапана в плунжере.

2. Величину разгрузки полых штанг в искривленном участке и головки балансиря станка-качалки, определяем по (9) с учетом (5):

$$F_{w_0} = 0,785(0,056^2 - 0,035^2)(900 \cdot 9,8 \cdot 800 + 5 \cdot 10^5 - 10^5) = 11185 \text{ Н};$$

3. Расчет максимальной нагрузки на головку балансиря станка-качалки производим по вышеизложенной методике с использованием зависимостей (10-17):

$$P_{w'} = 0,785 \cdot 900 \cdot 9,8 \cdot 1500 \cdot 0,032^2 = 10635 \text{ Н};$$

$$P_w' = (1500 - 800)20,1 + 800 \cdot 40 = 46070 \text{ Н};$$

$$P_w = (1500 - 800)23,3 + 800 \cdot 40 = 48310 \text{ Н};$$

$$f_{w\varphi} = \frac{\frac{I}{(\frac{1500 - 800}{1500}) 2,8 \cdot 10^{-4} + \frac{800}{1500} \cdot \frac{I}{4,2 \cdot 10^{-4}}}}{3,4 \cdot 10^{-4}} \text{ м}^2$$

$$\gamma = \frac{1,2 \cdot 10^{-3}}{1,2 \cdot 10^{-3} + 3,4 \cdot 10^{-4}} = 0,779$$

$$d_{w\varphi} = \sqrt{\frac{4}{3,14} \cdot 3,4 \cdot 10^{-4}} = 0,0208 \text{ м}$$

$$\lambda_w = 10635 \cdot 1500 / 2,1 \cdot 10^{11} \cdot 3,4 \cdot 10^{-4} = 0,223 \text{ м}$$

$$P_{max} = 10635 + 46070 \cdot 0,66 \frac{0,032}{0,0208} \quad 0,08 \cdot 48310 \cdot \sqrt{0,779 \cdot 3 - 0,223} +$$

$$+ 1000 \cdot III85 = 52225 \text{ Н;}$$

Результат свидетельствует о том, что при одинаковых конструкциях колонн штанг применение ДН дает нам снижение максимальной нагрузки на головку балансира станка-качалки на 21,4 %.

Максимальную нагрузку на колонну штанг в искривленном участке определяем также по (10), считая, что дифференциальный плунжер совершает такие же гармонические колебания, что и головка балансира станка-качалки. В этом случае мы учитываем вес всего столба жидкости, колонны штанг ниже ДН и инерционные нагрузки:

$$P_{max} = 10635 + 14070 \cdot 0,66 \frac{0,032}{0,019} \quad 0,08 \cdot 16310 \cdot \sqrt{0,811 \cdot 3 - 0,123} +$$

$$+ 1000 \cdot III85 = 16724 \text{ Н}$$

Без ДН нагрузка на штанги в искривленном участке была бы равна 27909 Н, т.е. на 67% больше.

23

**ПРИЛОЖЕНИЕ 3
обязательное**

**КОМПЛЕКТ КОНСТРУКТОРСКОЙ ДОКУМЕНТАЦИИ НА УШСН
С ДИФФЕРЕНЦИАЛЬНЫМ ПЛУНЖЕРОМ**

Ном.	Зар.	Обозначение	Наименование	К/к	Примечание
<u>Документация</u>					
*		АГ40. 000 СБ	Сборочный чертеж	* А4x4	
<u>Сборочные единицы</u>					
94	1	АГ40. 100	Клапан обратный 1		
-	2		-01 Клапан обратный 1		
<u>Детали</u>					
94	3	АГ40. 001	Переводник	4	
-	4		-01 Переводник	2	
-	5		-02 Переводник	4	
-	6		-03 Переводник	4	
94	7	АГ40. 002	Муфта	1	
-	8		-01 Муфта	1	
<u>Комплекты</u>					
54	1.	АГ40. 1000 СБ	Муфта установка	1	
54	2.	АГ40. 10. 01	Гайка	1	
54	3.	АГ40. 10. 02	Корпус	1	
54	4.	АГ40. 10. 03	Патрубок	1	
Материал:					
Сталь 40					
Гост 1050-74					
АГ40. 000					
Черт. под общем Гос. Закр. з/с. Веселкович Ф.И.О. 1225.			Установка штанговая масляная	Лист лист листов	
Н. констр. Головина Г. Грав. № 11. Черт.					
БашНИПИнефть					
Формат: II					
Копировальная бумага					

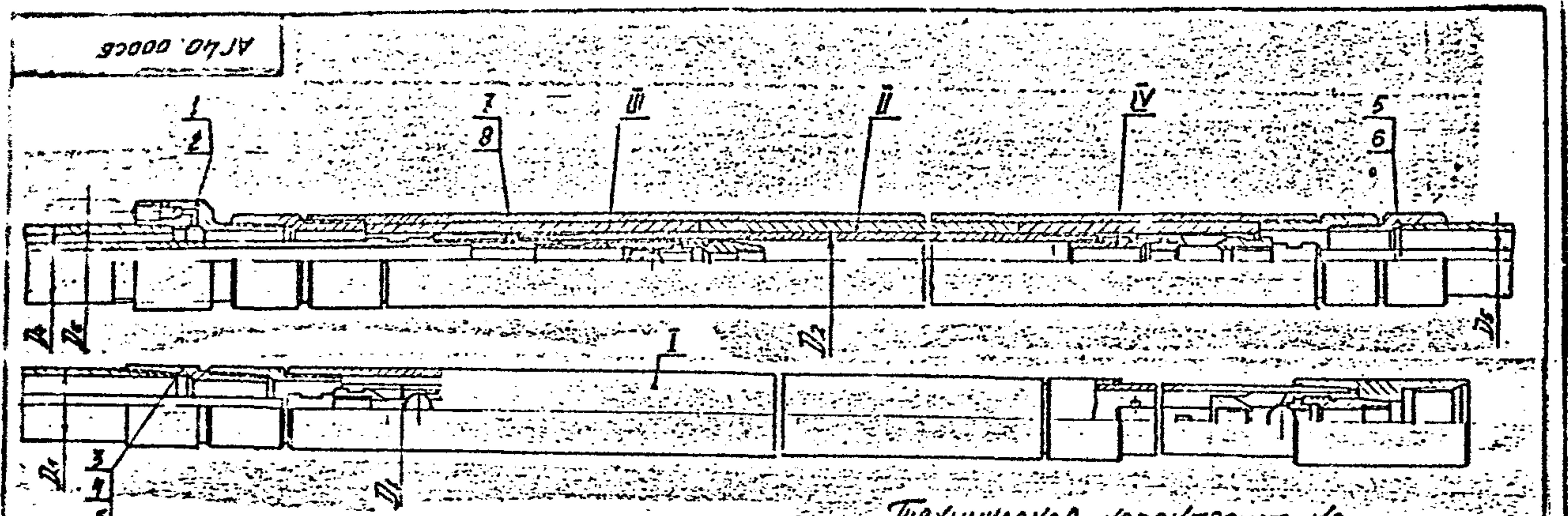


Таблица вариантов компактации установки

Centrifuge, No.	No. of Points	Mean	Standard Deviation
Stark et al. ¹	10	10.00	0.00

№ п/п	Насос НСН2	Насос НСН2 (модернизиров.) см. текст пред.	НКТ		Насосная штанга стальфтор	шток уставка полот.
	D ₁	D ₂	D ₃	D ₄	D ₅	D ₆
1	28	55	73	73	16	33x35
2	28	69	73	73	16	33x3,5
3	32	55	73	73	16	33x35
4	32	69	73	89	16	33x35
5	43	55	73	73	16	42x3,5
6	43	68	73	89	16	42x35
7	55	68	73	89	19	42x35

Техническая характеристика

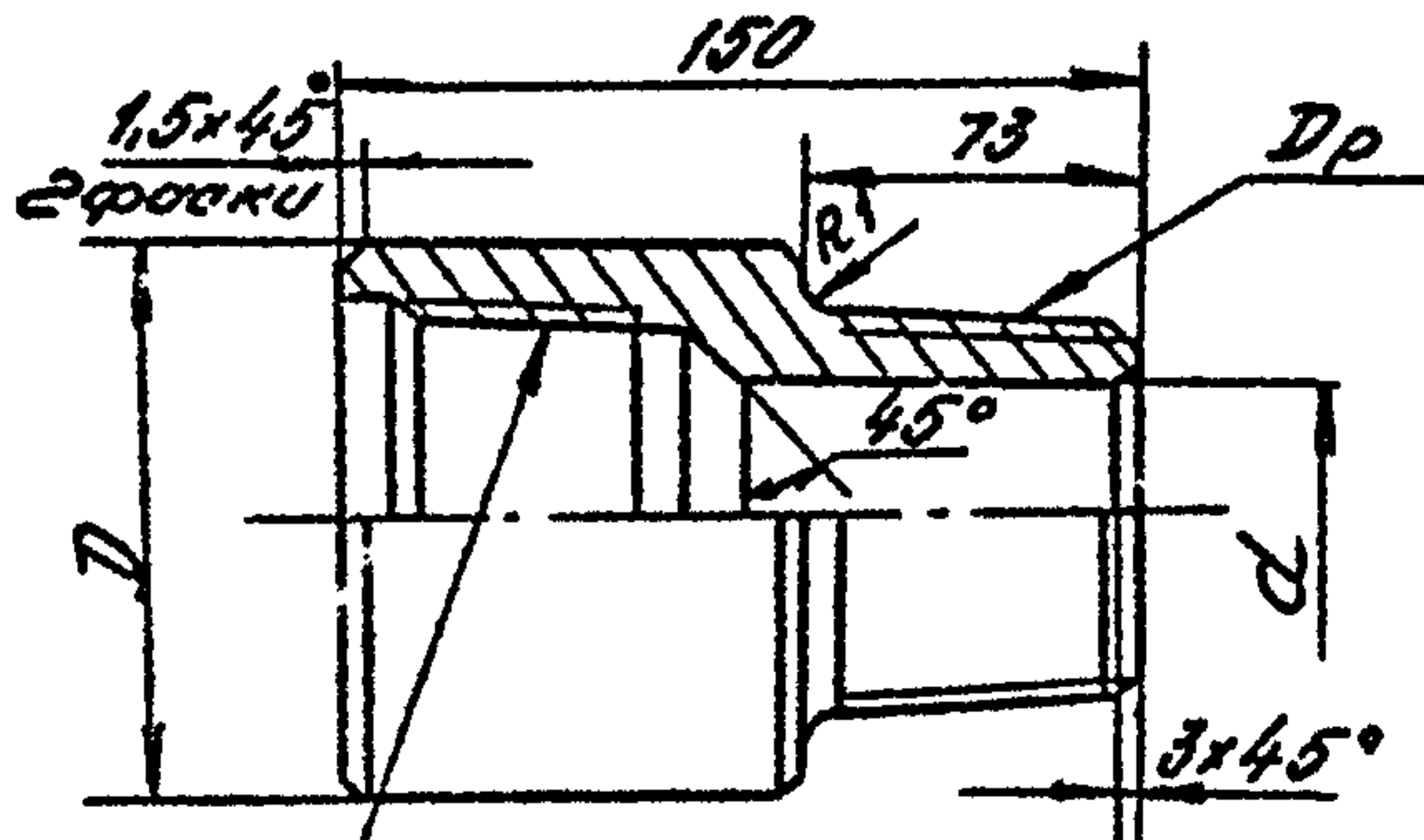
**1. Нознечки: структ. для эксплуатации нефтяных
и газовых скважин с наклонно-направленными и вертикальными
скважинами.**

1. Насос HCH2 диаметром D1 (см. поз. I) монтируется без изгибающей.
 2. Насос HCH2 диаметром D2 (см. поз. II) монтируется со следующими изгибами: а) верхние (магнитотельные) клапаны зондируются магнитотельным клапаном синхронизатором (см. поз. III) насоса HCVL.
 3. Нижний (магнитотельный) клапан (см. поз. IV) монтируется перевернутым, без шарика.

АГ40.000сб.

АГ40.001

50



Резьба НК гладких труб 73
ГОСТ 633-80

Обозначение	Др	D, мм, d, мм	Условный размер насоса НГН-2
АГ40-001	Резьба НК гладких труб 73 ГОСТ 633-80	89 35	28; 32
- 01	Резьба НК гладких труб 60 ГОСТ 633-80	89 46	43
- 02	Резьба НК гладких труб 73 ГОСТ 633-80	89 58	55
- 03	Резьба НК гладких труб 89 ГОСТ 633-80	108 70	68

1. НРС 38...46

2. Неуказанные предельные отклонения
размеров - по Н12; н12; \pm эт14/2.

Лист 1 из 1
Лист 1 из 1

АГ40.001

Переводник

Лист.	Масса	Листов
		-

Лист 2 из 2
Лист 2 из 2

Ном. 1.с - № обр.ни Псбр. 153
Возрб. Веселков Г.С.чнц 09.93
Пос5.
т.контр. Ураззаков Ч.М.чнц

Ч.контр. Камшина Клавдия 10.94
Чтв.

Столб 45
ГОСТ 1050-74

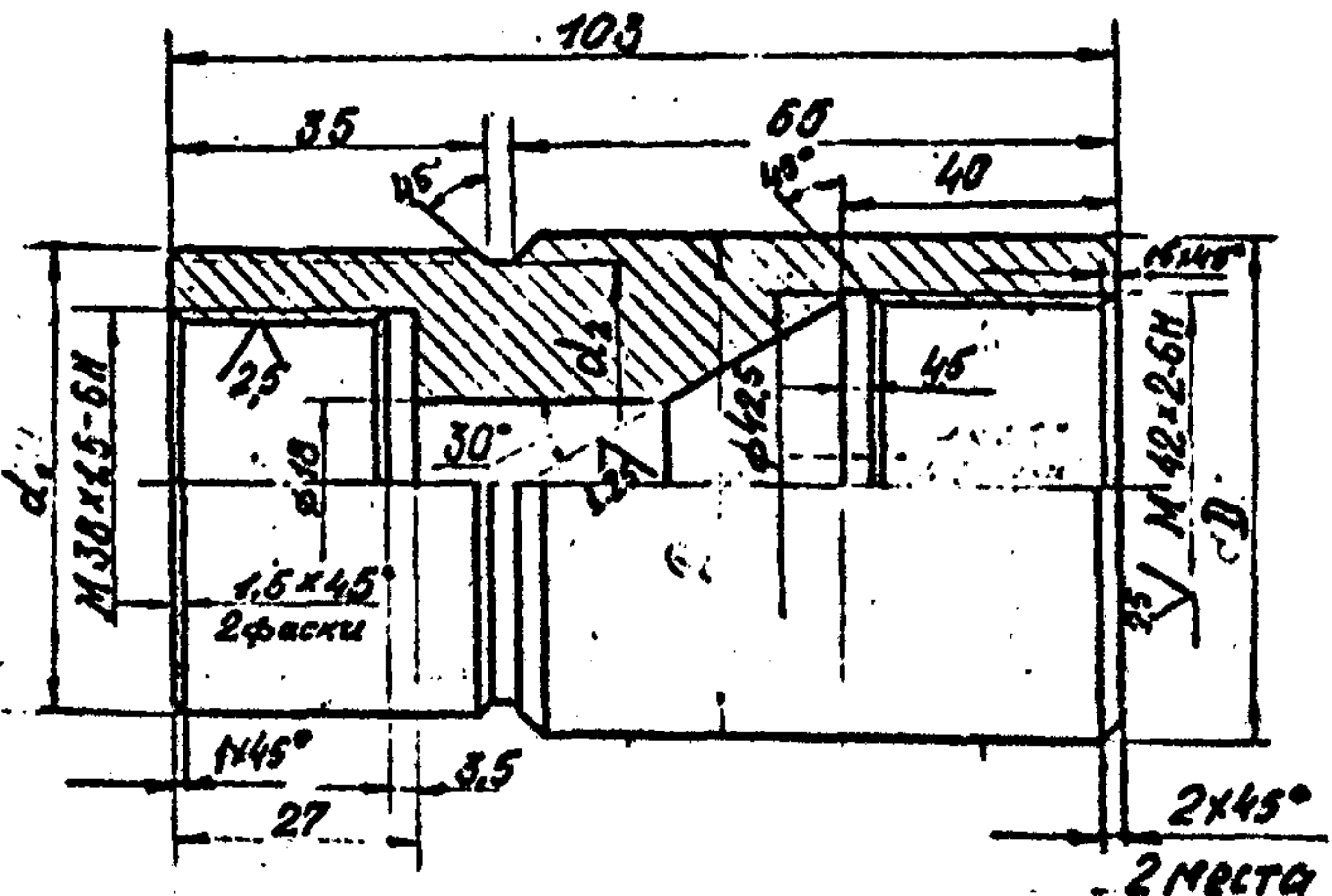
БашНИПИнефть

Копироваль: 52,

Формат: II

~~—AF40-002~~

5.0%
✓(✓)



Обозначение	D,м	-d,	d ₂
АГ40.002	54	M48x1,5-6g	45,5
-01	66	M60x1,5-6g	51,5

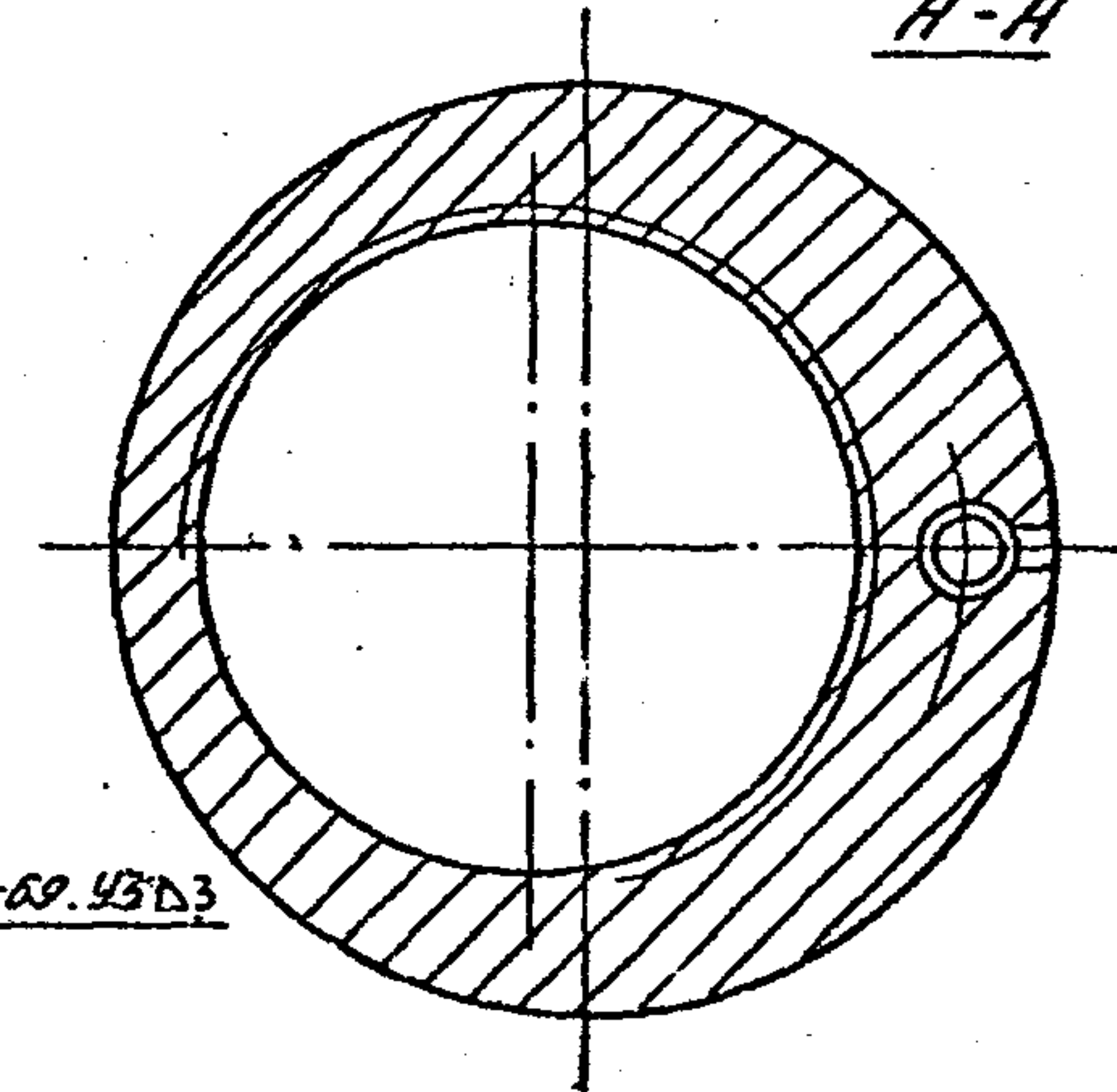
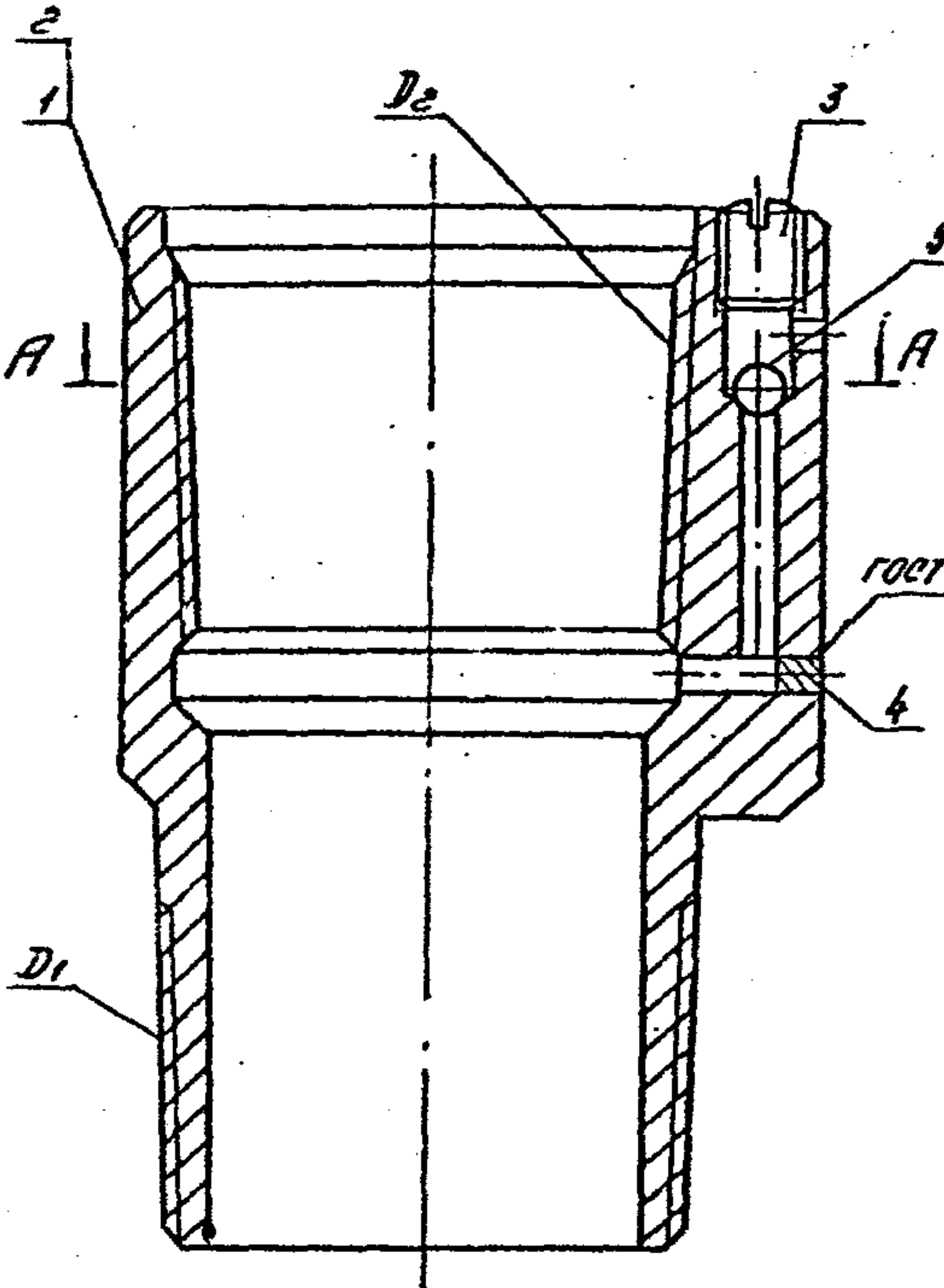
Неуказанные предельные отклонения
размеров - по Н12; т12; $\pm t_2/2$

Roncoobap

Формат II

Ном.	Код	Обозначение	Наименование	Кол.	Полим.- чоние
<u>Документация</u>					
83		АГ40.100 СБ -01 С.Б	Сборочный чертеж		
<u>Детали</u>					
84	1	АГ40. 101	Корпус	1	
84	2	- 01	Корпус	1	
84	3	АГ40. 102	Пробка	1	
84	4	АГ40. 103	Заплечик ф8-0.1 $L = 10 \pm 0.2$	1	
Стандартные изделия					
5			Шарик III 9,5 мм.	1	
			Ч ГОСТ 3722-81		
АГ40. 100 СБ					
Изм. 1-ст. по скум. Дзрп. Адмк. 13.2.5. Заводской сертиф. 09.83 02.03.			Лит. лист листов		
И. Кондратовна Ким 09.83 Чтв.			БашНИПИнефть		

30001 04-18

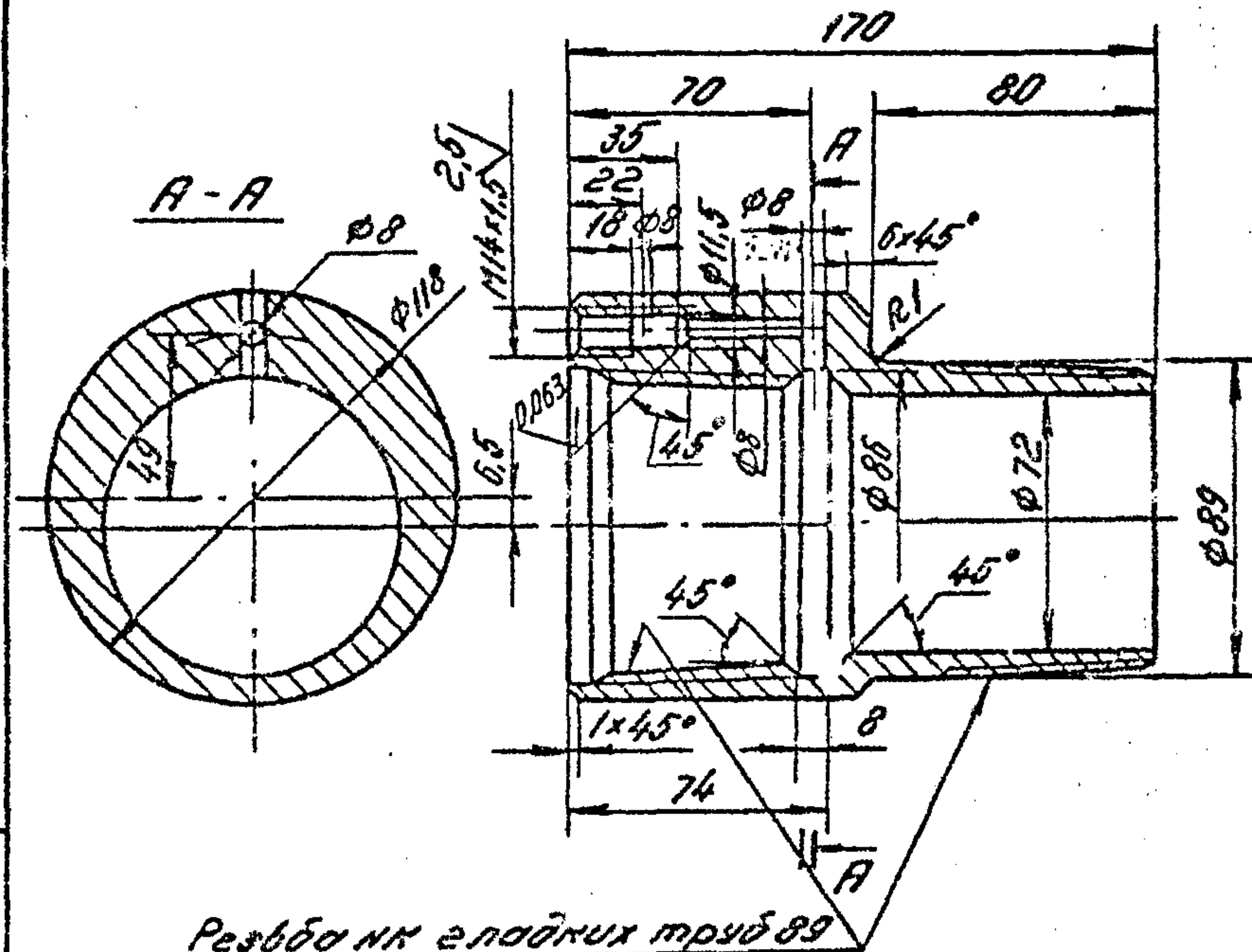


Обозначение	D ₁ и D ₂
АГ40. 100	Резьбо НК сплошных труб 73 ГОСТ 633-80
-01	Резьбо НК сплошных труб 89 ГОСТ 633-80

АГ40. 100 СБ			
Изобр. № 001	Г. Зн. 10-3		
Разраб. Веселков Юрий 09.88			
Одоб.			
Завод Чугуевский - - -			
Изгот. Чугуевский завод 10.88			
ЧУМ			
			1:1
		Лиса А.С.об	
			БАШНИГИНЕФТЬ

АГ40.101

5.0 (✓)



1. НРС 39...40
2. Неуказанные предельные отклонения размеров - по Н12; н12; $\pm 0.74/2$.

Д-р. конс.	Пост. и допн. к эскизу/нанесн. на схеме
5522.02	Задл-10.83.

Черт. №	Но даты	Лист	155
50.1.25	Весенний	0.8	
10.03.85			
г. конс. Чкаловск	Гагарин		

АГ40.101

Корпус

Сталь 45
ГОСТ 1050-74

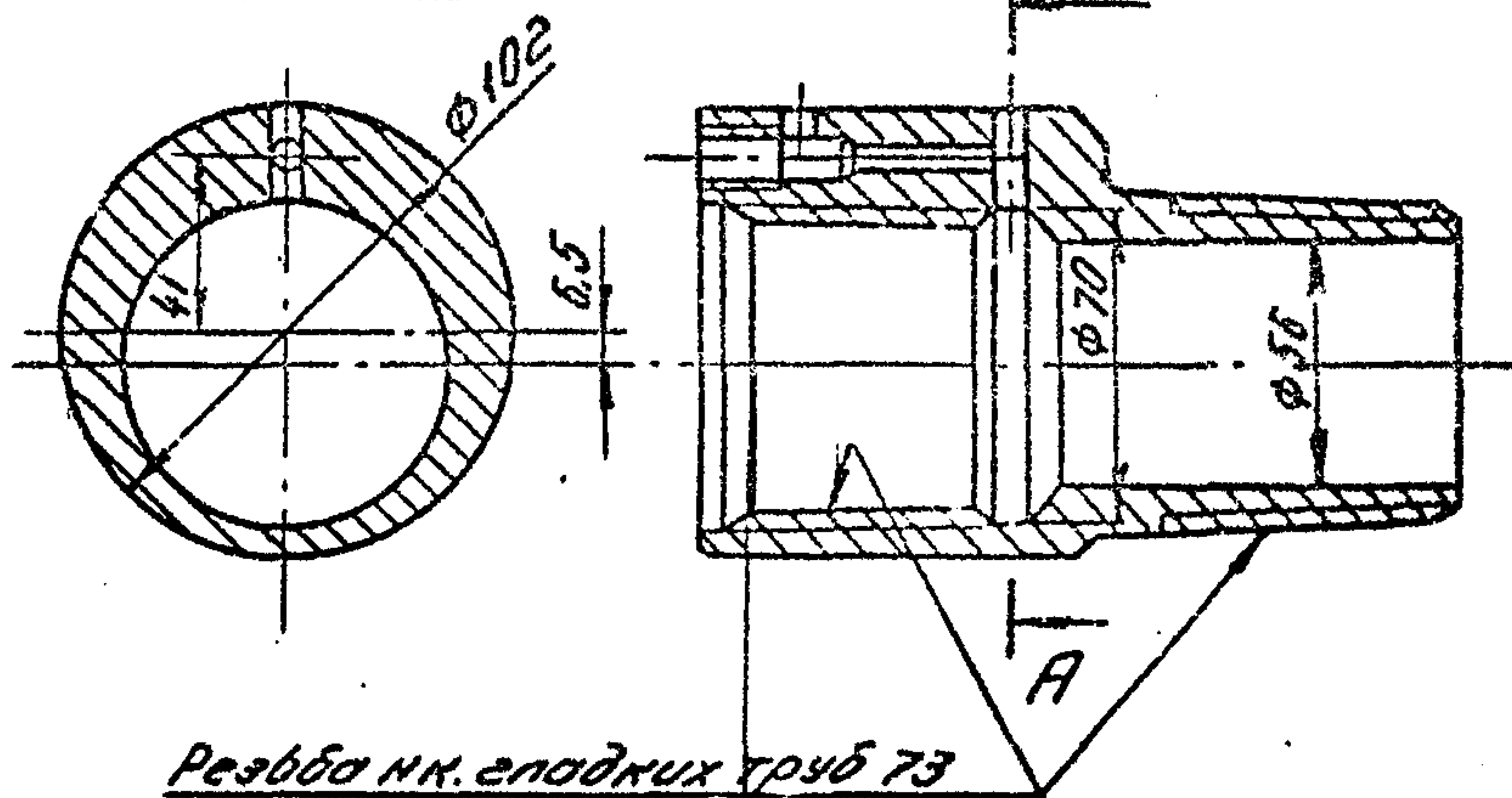
Лист.	Масса	"баштова"
		1:2

Лист . Листов 1

БАШНИПИНЕФТЬ

10-101.04 АГ

Остальное - см АГ40. 101

A-A

Резьба НК. гладких труб 73
ГОСТ 533-80

БашНИПИнефть	10.10.74
БашНИПИнефть	
БашНИПИнефть	
БашНИПИнефть	
БашНИПИнефть	

АГ40. 101-01

Корпус

Лист.	Номер	Масштаб
		1:2

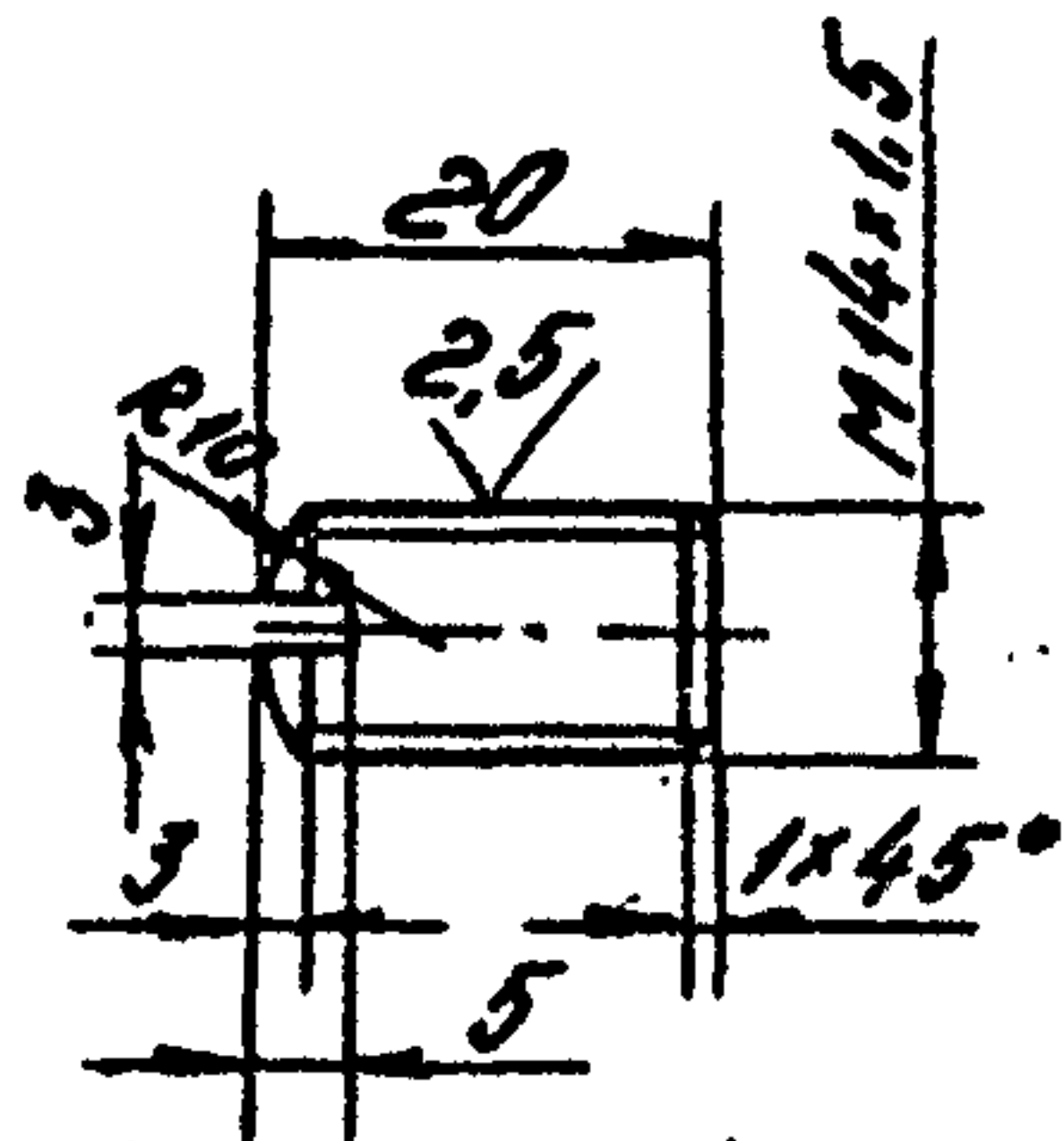
Сталь 45
ГОСТ 10.50-74

Лист.	Номер
	БашНИПИнефть

Бз

АГ40.102

✓(✓)



Неуказанные предельные отклонения размеров - по Н12; н12; ± от 14/2.

Номер	Размер	Ось	Номинальный размер	Пределы допуска
1	14	1	14	13.5 - 14.5
2	10	1	10	9.5 - 10.5
3	5	1	5	4.5 - 5.5
4	2.5	1	2.5	2.25 - 2.75
5	20	1	20	19.5 - 20.5

АГ40.102

Пробка

Лист	Масса	М.листов
1	1	1:2

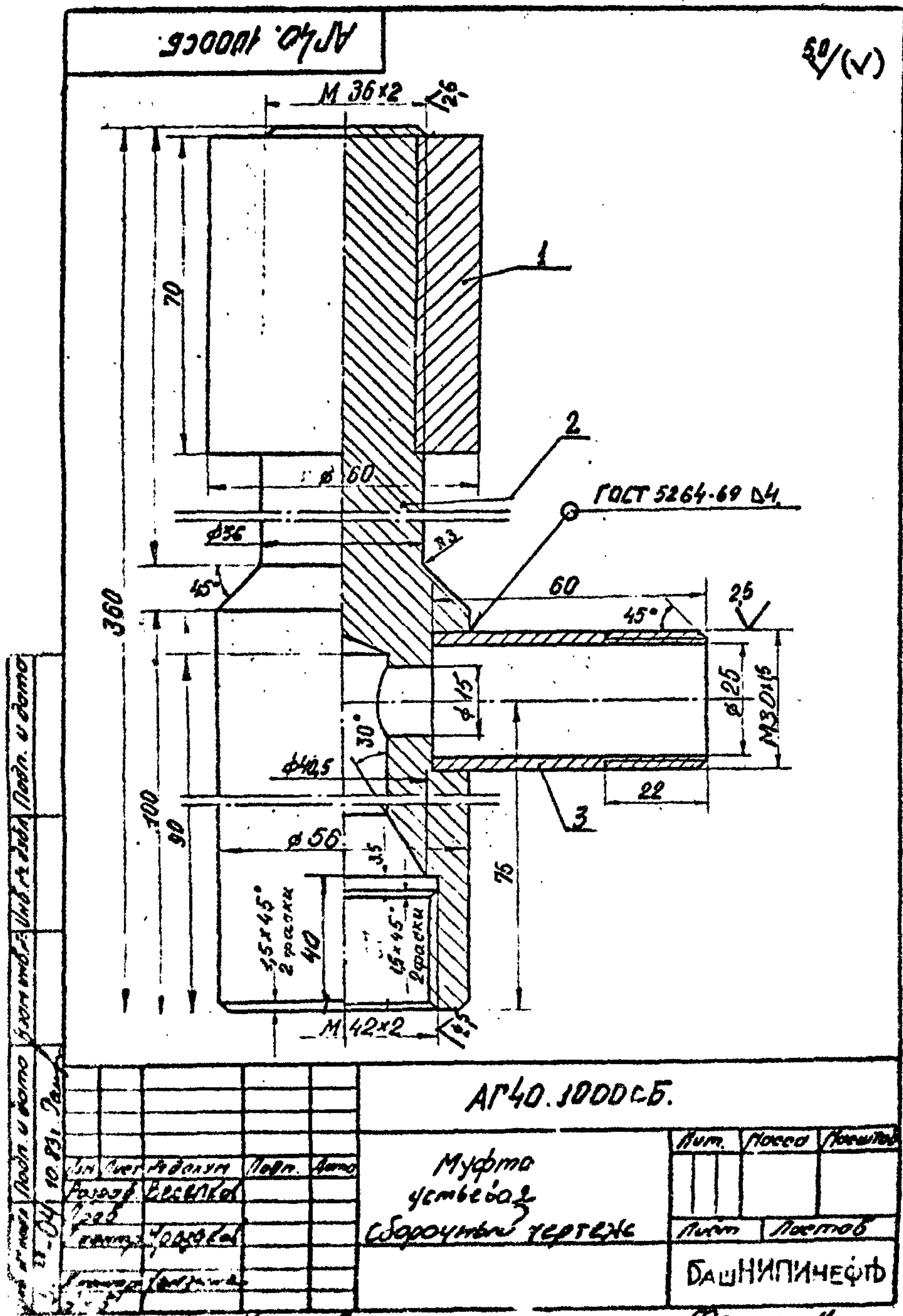
Чтв.н.	Номер	Номинальный размер	Пределы допуска
1	1	14	13.5 - 14.5
2	2	10	9.5 - 10.5
3	3	5	4.5 - 5.5
4	4	2.5	2.25 - 2.75
5	5	20	19.5 - 20.5

Столб 40
гост 1050-74

БАШНИПИНЕФТЬ

Копиродел: О.В.

Сборочная: 11



СОДЕРЖАНИЕ

	Стр.
1. ОБЩИЕ ПОЛОЖЕНИЯ	3
2. ТЕХНИЧЕСКИЕ СРЕДСТВА, НЕОБХОДИМЫЕ ДЛЯ ОСУЩЕСТВЛЕНИЯ ТЕХНОЛОГИЧЕСКОГО ПРОЦЕССА	5
3. ВЫБОР СКВАЖИНЫ ДЛЯ ОСУЩЕСТВЛЕНИЯ ПРОЦЕССА	5
4. СХЕМЫ, НЕОБХОДИМЫЕ ДЛЯ ОСУЩЕСТВЛЕНИЯ МОНТАЖА И ЭКСПЛУАТАЦИИ ОБОРУДОВАНИЯ	6
5. ТЕХНОЛОГИЧЕСКИЙ ПРОЦЕСС	6
6. ТРЕБОВАНИЯ БЕЗОПАСНОСТИ	9
7. ВОЗМОЖНЫЕ ОТКЛЮНЕНИЯ ОТ НОРМАЛЬНОЙ РАБОТЫ ТЕХНОЛОГИЧЕСКОЙ СХЕМЫ И СПОСОБЫ ИХ УСТРАНЕНИЯ	9
СПИСОК ИСПОЛЬЗОВАННЫХ ИСТОЧНИКОВ	10
ПРИЛОЖЕНИЕ I	
обязательное - Схемы штанговых скважинных насосных установок	11
ПРИЛОЖЕНИЕ 2	
рекомендуемое - Методика расчета параметров УШН с дифференциальным плунжером	13
ПРИЛОЖЕНИЕ 2а	
справочное - Пример расчета	20
ПРИЛОЖЕНИЕ 3	
- обязательное - Комплект конструкторской документа- ции на УШН с дифференциальным плунжером	23

Ответственный за выпуск Архангельская А.А.

Редакторы Кураслова А.Г., Морозова Л.В.

№01486

Заказ № 430

Тираж 200 экз.

450077, Уфа, ул. Ленина, 86. Башкирнефть, группа множительных машин.